

**МЕХАНИКА  
ЖИДКОСТИ И ГАЗА**  
**№ 4 · 1987**

УДК 532.613.5+536.252:519.62

**ЧИСЛЕННОЕ МОДЕЛИРОВАНИЕ ТЕРМОКАПИЛЛЯРНОЙ  
КОНВЕКЦИИ В СЛОЕ ЖИДКОСТИ ПРИ ЛОКАЛЬНОМ НАГРЕВЕ  
ЕЕ СВОБОДНОЙ ПОВЕРХНОСТИ**

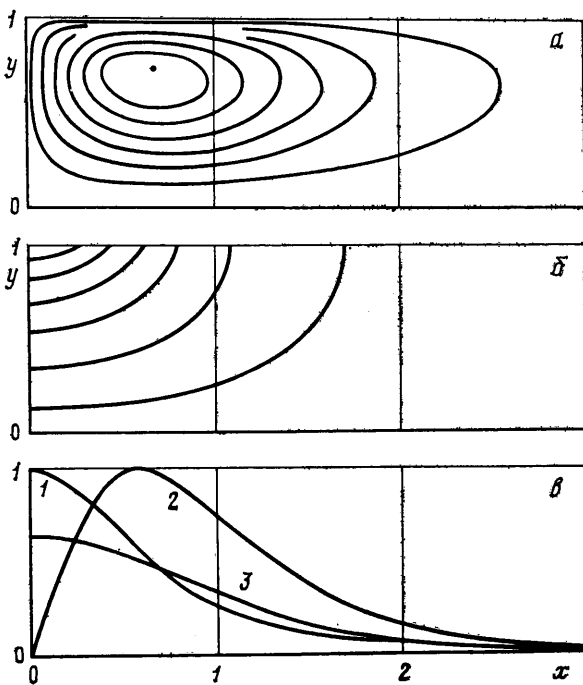
**САНОЧКИН Ю. В., ТУХВАТУЛЛИН Р. С., ФИЛИППОВ С. С.**

Термокапиллярная конвекция в отсутствие термогравитационной возможна в условиях невесомости. В поле силы тяжести проявляются обычно оба вида конвекции. Термокапиллярный механизм играет основную роль при толщинах нагреваемого снизу горизонтального слоя жидкости, не превышающих для многих веществ нескольких миллиметров [1, 2]. В [3] изучалась деформация свободной поверхности тонких слоев жидкости термокапиллярным движением. В [4, 5] детально исследовалось соотношение между обоими видами конвекции для случаев плоского горизонтального слоя и прямоугольной полости соответственно. Теоретический анализ плоскопараллельного термокапиллярного течения в горизонтальном слое жидкости проводился в [2, 4, 6], двумерная конвекция в плоском прямоугольном канале исследовалась численно в [7]. Все перечисленные выше работы относятся к случаю, когда нагрев жидкости осуществляется через дно или боковые стени сосуда.

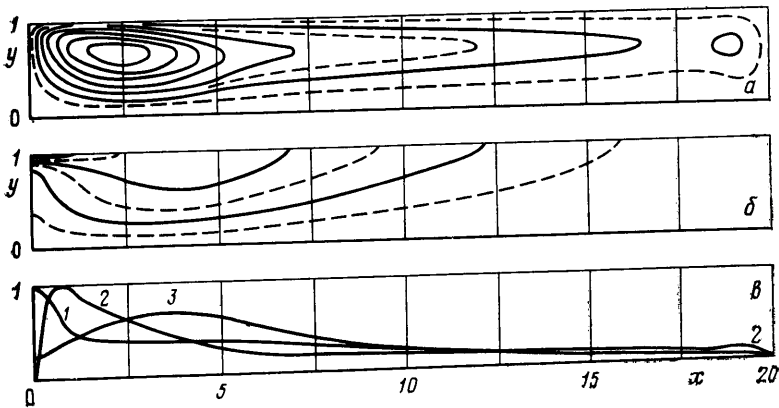
При рассмотрении многих вопросов физики катодного пятна, процессов массо- и теплопереноса при лазерной (пучковой) обработке материалов и т. д. возникает задача о термокапиллярной конвекции, вызываемой сосредоточенным нагревом жидкости со стороны свободной поверхности. Плоская стационарная задача для тонкого горизонтального слоя жидкости решалась в приближении пограничного слоя в [8–10]. Было установлено, что в жидкости образуется вихревая термокапиллярная ячейка определенной длины, в пределах которой локализовано в основном возмущение жидкости. Полученное в [8–10] решение описывает только часть ячейки, удаленную на некоторое расстояние от точки нагрева. Кроме того, уравнения пограничного слоя неприменимы в области длиной порядка толщины слоя вблизи конца ячейки. Поскольку можно ожидать появления в этой области и вне ячейки вторичных конвективных течений малой интенсивности, требуется более точное рассмотрение вопроса.

Цель данной работы – численное моделирование термокапиллярной конвекции в плоском горизонтальном слое жидкости при сосредоточенном нагреве ее свободной поверхности с использованием уравнений Навье – Стокса и уравнения переноса тепла. Это позволяет рассмотреть структуру конвекции во всем объеме жидкости, в частности в области слабого движения. Деформация свободной поверхности жидкости предполагается пренебрежимо малой. В случае тяжелой жидкости это допущение оправданно при некоторых ограничениях на перепад температуры сверху и на толщину слоя снизу [9, 10]. В невесомости слой жидкости постоянной толщины в прямоугольном канале может быть реализован при угле смачивания  $90^\circ$  [7].

Пусть жидкость занимает объем, ограниченный стенками сосуда  $y=0$ ,  $x=\pm L$  и свободной поверхностью  $y=h$ . Температура стенок предполагается постоянной и принимается за начало отсчета. Это соответствует контакту жидкости с хорошим проводником тепла большого размера. На свободную поверхность падает тепловой поток плотности  $q_0 f(x)$ . Для удобства расчетов для  $f$  было выбрано гауссово распределение  $f = \exp(-x^2/a^2)$  и для большинства рассчитанных вариантов полагалось  $a=h/2$ . При  $L>h$  оно достаточно хорошо моделирует локальный нагрев. Картина конвекции, очевидно, симметрична относительно плоскости  $x=0$ . В задаче нет заданных масштабов скорости и перепада температуры. Выберем в качестве единиц измерения длины  $h$ , скорости  $v/h$ , температуры  $\rho v^2/\alpha' h$ , где  $v$  – кинематическая вязкость,  $\rho$  – плотность,  $\alpha'$  – коэффициент поверхностного натяжения,  $\alpha' = -d\sigma/dT$ . Вводя функцию тока  $\psi$  и напряженность



Фиг. 1



Фиг. 2

вихря скорости  $\omega$ , можно записать исходные уравнения и граничные условия в виде

$$\omega = -\Delta \psi, \quad \frac{\partial(\omega, \psi)}{\partial(x, y)} = \Delta \omega, \quad \text{Pr} \frac{\partial(T, \psi)}{\partial(x, y)} = \Delta T \quad (1)$$

$$\omega = \frac{\partial T}{\partial x}, \quad \frac{\partial T}{\partial y} = Qf(x), \quad \psi = 1 \quad (y=1), \quad T = 0, \quad \psi = 1 \quad (y=0)$$

$$\omega = 0, \quad \frac{\partial T}{\partial x} = 0, \quad \psi = 1 \quad (x=0), \quad T = 0, \quad \psi = 1 \quad (x=l) \quad (2)$$

Решение задачи (1), (2) зависит от числа Прандтля  $\text{Pr}$  и безразмерных параметров  $l=L/h$  и  $Q=\alpha' q_0 h^2 / \kappa \rho v^2$ , где  $\kappa$  – коэффициент теплопроводности жидкости. Если ввести перепад температуры  $q_0 h / \kappa$ , то пропор-

циональный мощности нагрева параметр  $Q$  можно представить в виде  $Q=Ma/\Pr$ , где  $Ma$  — число Марангони.

Для численного решения задачи (1), (2) дифференциальные уравнения аппроксимировались устойчивой конечно-разностной схемой первого порядка с разностями вверх по потоку в конвективных членах [11]. При определении граничных условий для напряженности вихря на твердых стенках использовалось условие Вудса. Системы алгебраических уравнений для значений величин  $\omega$ ,  $\psi$ ,  $T$  в узлах сетки  $21 \times 21$  решались методом Гаусса — Зейделя. Порядок сканирования узлов сетки выбирался из соображений сходимости итераций и вычислительной устойчивости. Сходимость существенно убывает, если сканирование начинать в маловозмущенных частях поля течения и заканчивать в частях, где течение наиболее интенсивно. Во всех расчетах применялась неравномерная сетка в двух вариантах: а) линии сетки одинаково сгущаются ко всем границам области; б) автоматически строилась сетка, сгущающаяся в местах наиболее интенсивного течения. Расчеты проводились на ЭВМ БЭСМ-6. Решение одного варианта требовало 300–500 итераций и занимало 5–10 мин.

Если жидкости при нагреве не сообщается импульс в горизонтальном направлении, то развивающееся течение должно иметь вид циркуляции вдоль замкнутых линий тока.

На фиг. 1 представлены результаты расчетов при слабом нагреве ( $Q=10$ ) слоя жидкости достаточно большой длины ( $l=10$ ). Весь приводимый ниже графический материал относится к случаю  $Pr=1$ . На фиг. 1, а показаны линии тока, на фиг. 1, б — изотермы. Расход жидкости, циркулирующей между соседними линиями тока, одинаков. Максимальное значение температуры  $T_m$  достигается на свободной поверхности в плоскости симметрии. Полный перепад температуры делится нанесенными изотермами на равные части. На фиг. 1, в показаны в относительных единицах распределения температуры (кривая 1) и скорости жидкости (линия 2) на границе раздела.

Максимальное значение скорости конвекции  $v_m$  достигается на свободной поверхности в сечении  $x=x_m \approx a$ . Возмущение, вносимое нагревом, охватывает не весь слой жидкости, а лишь его часть  $x \leq 3$ . В удаленной от места нагрева области, составляющей 70% длины слоя, скорость конвекции и изменение температуры жидкости пренебрежимо малы. Расход циркулирующей в ней жидкости не превышает 5% от полного. Наличие вертикальной стенки, очевидно, не оказывает влияния на поток. При уменьшении  $l$  до значения  $l \approx 3$  показанная на фиг. 1 картина конвекции практически не изменяется. При  $l < 3$  конвективная ячейка занимает весь объем жидкости и взаимодействие потока с вертикальной стенкой начинает играть заметную роль. Начинают изменяться и характеристики конвекции. Например, если при  $l=10$  имеем  $T_m=4,94$ ,  $v_m=0,87$ , то при  $l=2$  получаются значения  $T_m=4,24$ ,  $v_m=0,78$ .

Таким образом, точный расчет подтверждает сделанный ранее вывод [8] об образовании изолированной термокапиллярной ячейки некоторой конечной длины при сосредоточенном нагреве свободной поверхности жидкости.

С увеличением мощности нагрева в картине изотерм и линий тока появляется ряд характерных особенностей. На фиг. 2 показаны результаты расчетов при  $Q=10^5$ ,  $l=20$ . Расход жидкости, циркулирующей между соседними из пяти построенных на фиг. 2, а внешних линий тока и в пределах внутренней линии тока, составляет  $1/13$  часть от полного, между остальными —  $2/13$ . В таких же пропорциях нанесенные на фиг. 2, б изотермы делят полный перепад температуры  $T_m$ .

С ростом нагрева происходит увеличение длины и степени асимметрии термокапиллярной ячейки. Центр вихря сдвигается слегка вправо, оставаясь по-прежнему на расстоянии порядка единицы от плоскости симметрии. Течение жидкости в направлении действия поверхностной силы занимает примерно  $1/3$  толщины, возвратный поток — остальную часть слоя. Однако линия поворота, вдоль которой  $v_x=0$ , становится с ростом  $Q$

более наклонной, особенно заметно поднимаясь вверх под местом нагрева. Проявляется характерное опускание изотерм с удалением от источника тепла. В зоне поворота потока недалеко от вертикальной стенки появляется вторичный вихрь с тем же направлением циркуляции жидкости и интенсивностью  $\sim 1\%$  от интенсивности основного вихря.

Картина напоминает наблюдавшееся в [5] с ростом перепада температуры между стенками полости возникновение «тонкой структуры» конвекции. Возможно, однако, что причиной появления вторичного вихря является в рассматриваемом случае взаимодействие потока с вертикальной стенкой. Дело в том, что длина  $l=20$  при  $Q=10^5$  оказывается недостаточной для «отрыва» термокапиллярной ячейки от правой границы и указанное взаимодействие еще имеет место. В пользу этой версии свидетельствует тот факт, что вторичный вихрь появляется и при расчете варианта  $Q=10^4$ ,  $l=10$ , где вертикальная стенка также оказывает влияние на поток. Длина ячейки при  $Q=10^4$  равна примерно 12–13 и вторичный вихрь не образуется при  $l=15$ .

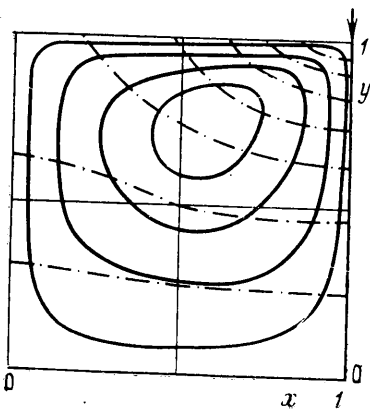
Следует обратить внимание на следующее обстоятельство. При конвекции в полости с нагревом через боковую стенку и линейным спадом температуры вдоль дна изотермы вблизи свободной поверхности с увеличением разности температур смещаются к холодной стенке [7]. К ней же приближается и центр вихря. В рассматриваемом случае асимметрия термокапиллярной ячейки имеет иной характер. Длина ячейки растет за счет вытягивания правых частей линий тока при практически неизменном положении центра вихря. Именно указанная привязка вихря к точке нагрева обусловливает возможность его отрыва от вертикальной стенки и образование единичной термокапиллярной ячейки.

С ростом мощности источника тепла увеличиваются максимальная температура жидкости  $T_m$  и интенсивность конвекции. Ниже показано, как изменяются в зависимости от значения параметра  $Q$  величины  $T_m$ ,  $v_m$  и объемного расхода циркулирующей в ячейке жидкости  $\Delta\psi$  (для случая  $Pr=1$ ):

$Q$	1	10	$10^2$	$10^3$	$10^4$	$10^5$
$T_m$	0,48	4,95	44,16	261,5	1280	6553
$v_m$	0,09	0,87	6,22	24,03	81,20	277,30
$\Delta\psi$	0,011	0,111	0,815	3,05	9,75	28,94

Увеличение скорости конвекции приводит, естественно, к увеличению конвективного переноса тепла. На фиг. 1, в, 2, в нанесена линия 3, которая представляет в относительных единицах распределение плотности потока тепла в дно ванны  $q_w$ . При слабой конвекции (фиг. 1) профиль  $q_w$  подобен распределению температуры по свободной поверхности с максимумом в центре нагрева. При интенсивной конвекции (фиг. 2) значения  $q_w$  в плоскости симметрии и на расстоянии 10  $h$  от нее приблизительно одинаковы, а максимум потока тепла сдвинут примерно на 3  $h$  от области нагрева. Отношение возникающего в жидкости перепада температуры  $\Delta T$  к разности температур в отсутствие конвекции при одинаковом нагреве легко оценить по формуле  $\chi\Delta T/hq_0 = T_m/Q$ . При  $Q=1-10$  оно составляет 0,5 и уменьшается до 0,07 при  $Q=10^5$ . Таким образом, при достаточно сильном нагреве доминирует конвективный теплоперенос.

Рассмотренная задача о термокапиллярной конвекции с недеформируемой свободной поверхностью в условиях взаимодействия потока с вертикальной стенкой подобна известной задаче о движении вязкой жидкости в прямоугольном канале с подвижной верхней крышкой. То обстоятельство, что касательные напряжения на свободной поверхности зависят от ее температуры, которая в свою очередь определяется конвекцией, не оказывает решающего влияния на картину движения [7]. При термокапиллярной конвекции в слое жидкости достаточной длины, когда отсутствует взаимодействие потока с вертикальной стенкой, указанная аналогия становится, вообще говоря, неверной. В задаче с подвижной крышкой градиент давления, необходимый для замыкания линий тока, возникает вследствие торможения потока вблизи боковых стенок. При наличии свободной поверхности и отсутствии преграды



Фиг. 3

(показана только область  $x>0$ ). Максимумы теплового потока приходятся на сечения  $x=\pm 1$  (вертикальная стрелка сверху),  $Q=10$ . Ячейки, расположенные при  $|x|>1$  (не показаны), напоминают ячейку, изображенную на фиг. 1. Циркуляция скорости в зеркальных ячейках имеет, очевидно, противоположное направление. Сравнение упомянутых рисунков демонстрирует изменение картины конвекции при сближении источников тепла на расстояние, равное примерно  $\frac{2}{3}$  длины невозмущенной ячейки.

Для выяснения влияния теплофизических свойств жидкости на конвекцию были проведены расчеты при  $Pr=10^{-2}$ . Удалось получить решение вплоть до значений  $Q=10^3$ . Качественно структура термокапиллярной ячейки при  $Pr=10^{-2}$  подобна изображенной на фиг. 1, 2. Характеристики конвекции  $T_m$ ,  $v_m$  и другие для обоих значений чисел Прандтля при одинаковых  $Q$  не сильно отличаются друг от друга. Однако, поскольку параметр  $Q$  зависит от  $q_0$  и  $\kappa$ , для сравнения течений разных жидкостей при одинаковой мощности нагрева нужно выбирать решения с различными  $Q$ . Пусть жидкости отличаются друг от друга только величиной коэффициента теплопроводности. Тогда отношение соответствующих различным жидкостям параметров  $Q$  равно отношению их чисел Прандтля.

$Q$	$(T_m)_1/(T_m)_{0,01}$	$(v_m)_1/(v_m)_{0,01}$	$(\Delta\psi)_1/(\Delta\psi)_{0,01}$	$(l_*)_1/(l_*)_{0,01}$
1	82	62	68	1,5
10	49	25	22	2,2
$10^2$	24	8,5	8,2	3,5
$10^3$	12	4,3	3,6	>5

Для указанного случая в таблице даны отношения некоторых параметров ячеек в жидкости с  $Pr=1$  к соответствующим характеристикам в жидкости с  $Pr=10^{-2}$ . Числа, касающиеся длин  $l_*$  термокапиллярных ячеек, следует рассматривать как ориентировочные.

Полученные для жидкости с  $Pr=10^{-2}$  решения описывают режим слабой конвекции, когда отвод тепла посредством теплопроводности играет важную роль и длина ячейки почти не меняется. В жидкости развиваются значительно меньшие перепады температур. Различия в значениях скорости и расхода не столь велики, поскольку длина ячейки также оказывается меньше. В то же время с ростом нагрева непрерывно увеличивается влияние конвективного теплоотвода.

Остановимся на вопросе об области применимости решений [8–10], полученных в приближении пограничного слоя. При достаточно сильном нагреве длина термокапиллярной ячейки равна приблизительно длине

на пути потока основным механизмом создания нужного противодавления может стать искривление способной к деформации границы жидкости [3]. При этом появляются поверхностное и (в поле силы тяжести) гидростатическое давления [12]. Поэтому определение поля давлений в задаче со свободной границей в приближении постоянной толщины слоя малоинтересно.

Особенно наглядно структура термокапиллярной ячейки проявляется, если поверхность жидкости нагревается в нескольких местах и, соприкасаясь, вихри начинают взаимодействовать друг с другом. На фиг. 3 сплошные и штриховые линии показывают линии тока и изотермы конвекции, обусловленной симметричным относительно плоскости  $x=0$  нагревом двумя идентичными источниками тепла

зоны замедления потока на свободной поверхности и значительно превосходит толщину слоя жидкости. Для упомянутых решений характерны примерно линейный и параболический законы спада скорости и температуры на поверхности соответственно. Подобное изменение указанных величин, как показывает численное моделирование, имеет место в части зоны замедления справа от точки перегиба на соответствующих распределениях при отсутствии взаимодействия потока с вертикальной стенкой.

#### ЛИТЕРАТУРА

1. Pearson J. R. A. On convection cells induced by surface tension // *J. Fluid Mech.* 1958. V. 4. № 5. P. 489–500.
2. Бирих Р. В. О термокапиллярной конвекции в горизонтальном слое жидкости // ПМТФ. 1966. № 3. С. 69–72.
3. Пшеничников А. Ф., Токменина Г. А. Деформация свободной поверхности жидкости термокапиллярным движением // Изв. АН СССР. МЖГ. 1983. № 3. С. 150–153.
4. Кирдяшкин А. Г. Термокапиллярная и термогравитационная конвекция в горизонтальном слое жидкости // Гидромеханика и процессы переноса в невесомости. Свердловск: Изд-во УНЦ АН СССР, 1983. С. 126–135.
5. Бердников В. С., Забродин А. Г., Марков В. А. Тепловая гравитационно-капиллярная конвекция в прямоугольной полости // Гидромеханика и процессы переноса в невесомости. Свердловск: Изд-во УНЦ АН СССР. 1983. С. 136–151.
6. Левич В. Г. Физико-химическая гидродинамика. М.: Физматгиз, 1959. 699 с.
7. Бабский В. Г., Колачевский Н. Д., Мышикис А. Д. и др. Гидромеханика невесомости. М.: Наука, 1976. 504 с.
8. Саночкин Ю. В. Термокапиллярная конвекция в тонком слое жидкости, локально нагреваемом сверху // ПМТФ. 1983. № 6. С. 134–137.
9. Саночкин Ю. В. Установившееся термокапиллярное движение в горизонтальном слое жидкого металла, локально нагреваемом сверху // Изв. АН СССР. МЖГ. 1984. № 6. С. 146–152.
10. Выборнов С. И., Саночкин Ю. В. Термокапиллярная ячейка в слое тяжелой жидкости, подогреваемой сверху // Изв. АН СССР. МЖГ. 1985. № 1. С. 176–180.
11. Госмен А. Д., Пан В. М., Ранчел А. К. и др. Численные методы исследования течений вязкой жидкости. М.: Мир, 1972. 324 с.
12. Chia-Shun Yih. Fluid motion induced by surface-tension variation // *Phys. Fluids.* 1968. V. 11. № 3. P. 477–484.

Москва

Поступила в редакцию  
6.X.1986